

# РЕЗОНАНСНОЕ РОЖДЕНИЕ $\Lambda_c^+$ БАРИОНОВ ВО ВЗАИМОДЕЙСТВИЯХ НЕЙТРИНО С ЯДРАМИ В ФОТОЭМУЛЬСИИ

Ю.А.Батусов<sup>1)</sup>, С.А.Бунятов<sup>1)</sup>, О.М.Кузнецов<sup>1)</sup>, В.В.Люков<sup>1)</sup>,  
 В.И.Третьяк<sup>1)</sup>, П.А.Горичев<sup>2)</sup>, О.К.Егоров<sup>2)</sup>, Э.Д.Колганова<sup>2)</sup>,  
 И.В.Махлюева<sup>2)</sup>, Е.А.Пожарова<sup>2)</sup>, В.А.Смирнитский<sup>2)</sup>, В.В.Шаманов<sup>2)</sup>,  
 В.В.Аммосов<sup>3)</sup>, В.И.Баранов<sup>3)</sup>, В.А.Гапиенко<sup>3)</sup>, В.И.Клюхин<sup>3)</sup>,  
 В.И.Корешев<sup>3)</sup>, П.В.Питухин<sup>3)</sup>, В.И.Сиротенко<sup>3)</sup>,  
 Е.А.Слободюк<sup>3)</sup>, Б.Вильчинска<sup>4)</sup>, Г.Вильчински<sup>4)</sup>, В.Вольтер<sup>4)</sup>,  
 Б.Войсек<sup>4)</sup>, А.Ольшевски<sup>4)</sup>, А.Юрак<sup>4)</sup>, Х.Чернег<sup>5)</sup>, М.Иванова<sup>6)</sup>,  
 Л.Войводик<sup>7)</sup>, В.Смарт<sup>7)</sup>, Г.Рубин<sup>8)</sup>, Р.Аммар<sup>9)</sup>, Дж.Грэсс<sup>9)</sup>,  
 Р.Дэвис<sup>9)</sup>, Н.Квак<sup>9)</sup>, Д.Коннадж<sup>9)</sup>, Р.Раймер<sup>9)</sup>, Р.Стамп<sup>9)</sup>,  
 Т.Барнет<sup>10)</sup>, Р.Вилкс<sup>10)</sup>, С.Крживоджински<sup>10)</sup>, Дж.Лорд<sup>10)</sup>,  
 Р.Розенбладт<sup>10)</sup>, А.Бакич<sup>11)</sup>, Л.Пик<sup>11)</sup>.

Показано, что в нейтринных взаимодействиях значительная часть  $-0.58^{+0.17}_{-0.22}$  – очарованных  $\Lambda_c^+$  барионов может рождаться через распады  $\Sigma_c$  резонансов. Три из четырех зарегистрированных событий с рождением  $\Lambda_c^+$  интерпретируются, как образование и распад очарованных  $\Sigma_c^0$  (2450),  $\Sigma_c^{++}$  (2450) и  $\Sigma_c^{++}$  (2510) резонансов по каналу  $\Sigma_c \rightarrow \Lambda_c^+ \pi^\pm$ . Среднее значение разности масс  $\Sigma_c$  (2450) и  $\Lambda_c^+$  составляет  $162 \pm 2$  МэВ/ $c^2$ .

Существование очарованных  $\Sigma_c$  (2450) и  $\Sigma_c$  (2510) барионов не является надежно установленным экспериментальным фактом<sup>1)</sup>. Очарованные  $\Sigma_c$  резонансы должны, в основном, распадаться<sup>2, 3)</sup> по сильному взаимодействию  $\Sigma_c \rightarrow \Lambda_c^+ \pi$ , вклад радиационного канала распада невелик –  $< 1\%$ <sup>4)</sup>.

Приведенные в настоящей работе данные по образованию очарованных  $\Lambda_c^+$  барионов через резонансные  $\Sigma_c$  состояния получены в эксперименте Е-564<sup>5)</sup>. В этом эксперименте криогенно-чувствительная ядерная фотоэмulsionия БР-2, помещенная в рабочий объем 15-футовой пузырьковой камеры ФНАЛ, облучалась в нейтринном пучке с широким спектром энергий до 220 ГэВ. Анализ каждого из зарегистрированных распадов очарованных  $\Lambda_c^+$  барионов был описан ранее в работах<sup>6)</sup>. Три из четырех событий с распадами  $\Lambda_c^+$  барионов допускали интерпретацию как возможное образование и распад  $\Sigma_c^0$  (2450),  $\Sigma_c^{++}$  (2450),  $\Sigma_c^{++}$  (2510) резонансов на  $\Lambda_c^+ \pi^\pm$ .

**Распады очарованных барионов.** Моды распада и характеристики зарегистрированных очарованных барионов приведены в таблице. Полученные в эксперименте значения времени жизни  $\tau_{\Lambda_c^+} = (2.1^{+1.5}_{-0.8}) \cdot 10^{-13}$  с и массы  $M_{\Lambda_c^+} = 2287 \pm 13$  МэВ/ $c^2$  очарованного  $\Lambda_c^+$  бариона хорошо согласуются с усредненными данными других экспериментов<sup>1)</sup>.

<sup>1)</sup> ОИЯИ, Дубна, СССР.

<sup>2)</sup> ИТЭФ, Москва, СССР.

<sup>3)</sup> ИФВЭ, Серпухов, СССР.

<sup>4)</sup> ИЯФ, Краков, ПНР.

<sup>5)</sup> ИЯИЯЭ, София, НРБ.

<sup>6)</sup> Пловдивский Университет, Пловдив, НРБ.

<sup>7)</sup> ФНАЛ, Батавия, США.

<sup>8)</sup> ИИТ, Чикаго, США.

<sup>9)</sup> Канзасский Университет, Лоуренс, США.

<sup>10)</sup> Вашингтонский Университет, Сиэтл, США.

<sup>11)</sup> Сиднейский Университет, Сидней, Австралия.

Для поиска резонансных  $\Sigma_c$  состояний во взаимодействиях с рождением  $\Lambda_c^+$  барионов были вычислены эффективные массы  $\Lambda_c^+$  барионов с идентифицированными в событиях  $\pi^\pm$ -мезонами  $M_{\Lambda_c^+ \pi^\pm}$  и разности масс  $\Delta m = M_{\Lambda_c^+ \pi^\pm} - M_{\Lambda_c^+}$ . На рисунке изображена идеограмма значений  $\Delta m$ <sup>1)</sup>.

Каждая разность масс  $\Delta m$  с ошибкой  $\sigma_{\Delta m}$  на идеограмме изображена прямоугольником с основанием  $2\sigma_{\Delta m}$  и высотой  $1/2\sigma_{\Delta m}$ . Площадь каждого из прямоугольников соответствует площади единичного заштрихованного квадрата, показанного на рисунке. Идеограмма позволяет представить распределение разности масс  $\Delta m$  с учетом ошибок измерений, что особенно важно, когда эти ошибки существенно различаются. Исследование разности масс  $M_{\Lambda_c^+ \pi^\pm}$  и  $M_{\Lambda_c^+}$  для поиска  $\Sigma_c$  состояний предпочтительней изучения абсолютных значений массы  $M_{\Lambda_c^+ \pi^\pm}$ . Из-за корреляции ошибок в массах  $M_{\Lambda_c^+ \pi^\pm}$  и  $M_{\Lambda_c^+}$  абсолютная ошибка в разности масс меньше ошибки в массе  $M_{\Lambda_c^+ \pi^\pm}$ .

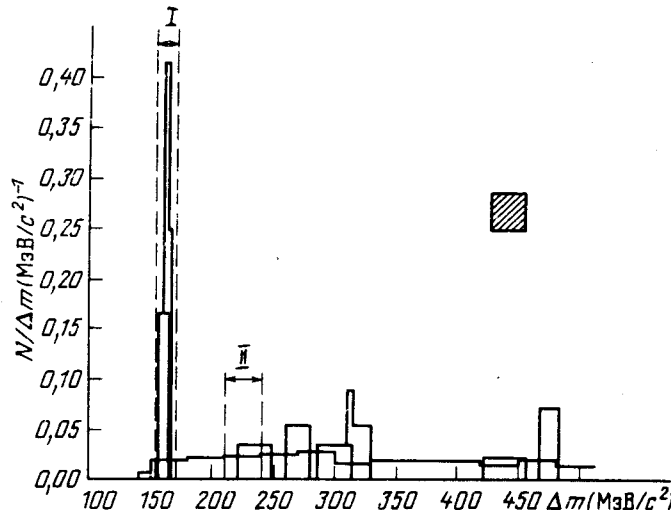
### Характеристики распада очарованных барионов

№пп	Мода распада	Пробег до распада (мкм)	Импульс (ГэВ/с)	Время проплета до распада ( $10^{-13}$ с)	Масса (МэВ/ $c^2$ )	Разность масс (МэВ/ $c^2$ )
1	$\Sigma_c^0 (2450) \rightarrow \Lambda_c^+ \pi^-$ $\Lambda_c^+ \rightarrow \Sigma^+ \pi^+ \pi^-$	154	4,1 3,7	$3,13 \pm 0,02$	$2300 \pm 25$	$163 \pm 2$
2	$\Sigma_c^{++} (2450) \rightarrow \Lambda_c^+ \pi^+$ $\Lambda_c^+ \rightarrow p K^- \pi^+$	147	6,4 5,9	$1,90 \pm 0,07$	$2278 \pm 40$	$160 \pm 3$
3	$\Sigma_c^{++} (2510) \rightarrow \Lambda_c^+ \pi^+$ $\Lambda_c^+ \rightarrow n K^- \pi^+ \pi^+$	1150	28,4 24,1	$3,64 \pm 0,35$	$2351 \pm 116$	$235 \pm 14$
4	$\Lambda_c^+ \rightarrow p K^- \pi^+$	2,1	3,8	$0,04 \pm 0,01$	$2283 \pm 15$	—

Предсказываемые в теоретических работах<sup>2, 3</sup> разности масс между барионными состояниями из триплета  $\Sigma_c$  (2450) и  $\Lambda_c^+$  барионом равны  $159 - 166$  МэВ/ $c^2$ , а между барионными состояниями из триплета  $\Sigma_c$  (2510) и  $\Lambda_c^+$  барионом —  $220 - 229$  МэВ/ $c^2$ . Вычисленные в работах<sup>2, 4</sup> ширины  $\Sigma_c$  (2450) и  $\Sigma_c$  (2510) составляют  $\sim 5$  и  $\sim 20$  МэВ соответственно. На рисунке в области I, соответствующей теоретически ожидаемой разности масс  $\Sigma_c$  (2450) и  $\Lambda_c^+$  имеются две хорошо измеренные разности масс  $\Delta m$  из событий 1 и 2. Другие значения лежат по величине  $\Delta m$  намного дальше. Немногочисленные экспериментальные данные<sup>3</sup> (9 событий) также указывают для значения разности масс  $\Sigma_c$  (2450) и  $\Lambda_c^+$  на величину  $\Delta m \sim \sim 159 - 177$  МэВ/ $c^2$ . Событие 1 интерпретируется как распад  $\Sigma_c^0 (2450) \rightarrow \Lambda_c^+ \pi^-$  со значением разности масс  $163 \pm 2$  МэВ/ $c^2$ , а событие 2 как распад  $\Sigma_c^{++} (2450) \rightarrow \Lambda_c^+ \pi^+$  со значением разности масс  $160 \pm 3$  МэВ/ $c^2$ . В области II на рисунке есть указание на распад  $\Sigma_c^{++} (2510) \rightarrow \Lambda_c^+ \pi^+$  с  $\Delta m = 235 \pm 14$  МэВ/ $c^2$  (событие 3). Фон для распадов  $\Sigma_c \rightarrow \Lambda_c^+ \pi^\pm$  рассчитывался исходя из числа событий ожидаемых в областях: I ( $156 - 169$  МэВ/ $c^2$ ) и II ( $210 - 239$  МэВ/ $c^2$ ) соответствующих разностям масс между  $\Sigma_c$  и  $\Lambda_c^+$  барионами. Для оценки ожидаемого числа событий в областях I и II было вычислено распределение по  $\Delta m$  для  $\Lambda_c^+$  барионов с ливневыми частицами (в предположении, что это  $\pi$ -мезоны) из найденных в эксперименте нейтринных взаимодействий. При расчете отбирались взаимодействия со значением

<sup>1)</sup>Несколько значений  $\Delta m$  лежат в области  $\sim 1 - 2$  ГэВ/ $c^2$  и при последующем анализе не учитывались.

инвариантной массы адронной системы  $W$  соответствующим среднему значению  $W$  в событиях с образованием  $\Lambda_c^+$ . Полученное распределение нормировалось в интервале разностей масс  $250 \text{ МэВ}/c^2 \leq \Delta m \leq 500 \text{ МэВ}/c^2$  на аналогичное распределение для четырех событий с образованием  $\Lambda_c^+$  барионов (рисунок) и экстраполировалось в область  $\Delta m < 250 \text{ МэВ}/c^2$ . Нормированное распределение приведено на рисунке непрерывной ступенчатой линией. Оценка числа событий ожидаемых в области разностей масс  $\Sigma_c$  и  $\Lambda_c^+$  барионов приводит к следующему уровню фона: для  $\Sigma_c^{++}$  (2510)  $0,41 \pm 0,19$ , для  $\Sigma_c^{+\frac{1}{2}}$  (2450)  $0,13 \pm 0,06$  для  $\Sigma_c^0$  (2450)  $0,10 \pm 0,04$  события. Суммарная величина фона составляет  $0,7 \pm 0,2$  события.



Идеограмма для разности масс  $\Delta m = M_{\Lambda_c^+ \pi^\pm} - M_{\Sigma_c}$ ; по оси ординат отложено число событий в интервале  $1 \text{ МэВ}/c^2$ . Области I ( $156 - 169 \text{ МэВ}/c^2$ ) и II ( $210 - 239 \text{ МэВ}/c^2$ ) соответствуют теоретически предсказываемым разностям масс  $M_{\Sigma_c(2450)} - M_{\Lambda_c^+}$  и  $M_{\Sigma_c(2510)} - M_{\Lambda_c^+}$  соответственно с учетом ширин  $\Sigma_c$  резонансов. Заштрихованный квадрат соответствует одному событию

Усредненное значение массы  $\Sigma_c$  (2450) состояний по двум зарегистрированным событиям составляет  $2455 \pm 22 \text{ МэВ}/c^2$ , а разность масс  $\Sigma_c$  (2450) и  $\Lambda_c^+$   $- 162 \pm 2 \text{ МэВ}/c^2$ .

Полученные данные позволяют оценить соотношение между "прямым" образованием  $\Lambda_c^+$  и образованием через  $\Sigma_c$  резонансы:

$$R_{\Lambda_c^+} = \frac{\Sigma_c \rightarrow \Lambda_c^+ \pi^\pm}{\text{Все } \Lambda_c^+} = 0.58^{+0.17}_{-0.22}$$

Этот результат является указанием на то, что в нейтринных взаимодействиях значительная часть  $\Lambda_c^+$  барионов может образоваться через  $\Sigma_c$  резонансы. Теоретические оценки величины  $R_{\Lambda_c^+}$ , без учета особенностей динамики образования очарованных барионов, дают значение  $R_{\Lambda_c^+}$  равное  $0,6$ <sup>2, 3</sup>. Как видно, теоретическое значение согласуется с результатом, полученным в нашем эксперименте. Последнее указывает на то, что динамика образования очарованных барионов, по-видимому, существенно не нарушает соотношения между относительным образованием  $\Lambda_c^+$  и  $\Sigma_c$  барионов, оцененным только из соображений зарядовой независимости и спиновой статистики.

В заключение следует отметить, что зарегистрированные в нашем эксперименте нейтринные взаимодействия с рождением очарованных барионов существенно отличаются по величине квадрата переданного четырехимпульса  $Q^2$  от событий с образованием очарованных  $D$ -ме-

<sup>2)</sup> Разница масс внутри  $\Sigma_c$  мультиплетов оценивалась в ряде работ <sup>7</sup> и составляла в среднем величину порядка нескольких МэВ.

зонов. Средняя величина  $Q^2$  во взаимодействиях с рождением очарованных барионов составляет  $\sim 4$  ( $\text{ГэВ}/c$ )<sup>2</sup>, в то время как в событиях с  $D$ -мезонами –  $\langle Q^2 \rangle \sim 19$  ( $\text{ГэВ}/c$ )<sup>2</sup>. В рамках партонной модели образование очарованных барионов наиболее вероятно при слиянии партонов нуклонного остатка и рожденного  $c$ -кварка. Это приводит<sup>8</sup> к ограничению по  $Q^2$  ( $Q^2 < M_{\Lambda_c^+}^2$ ), что и наблюдается в эксперименте.

### Литература

1. *Aguilar-Benitez M. et al.* Phys. Lett., 1986, **170B**, Review of Particle Properties.
2. *De Rujula A., Georgy H., Glashow S.L.* Phys. Rev., 1975, **D12**, 147.
3. *Lee B.W., Quigg G., Rosner J.* Phys. Rev., 1977, **D15**, 157.
4. *Izatt D., Detar C., Stephenson M.* Nucl. Phys., 1982, **B199**, 269.
5. *Smart W., et al.* Acta Phys. Polon., 1986, **B17**, 41.
6. Бунятов С.А. и др. Сообщение ОИЯИ, 1982, Д1-82-471, Дубна; Аммар Р. и др. ЯФ, 1986, **44**, 649; Аммар Р., Аммосов В.В., Бакич А. и др. Письма в ЖЭТФ, 1986, **43**, 401; Батусов Ю.А. и др. Препринт ОИЯИ, 1987, Р1-87-308, Дубна.
7. *Lichtenberg D.B.* Phys. Rév., 1977, **D15**, 231 и ссылки к этой работе.
8. Коноплич Р.В., Кребс А.Б., Никитин Ю.П. ЯФ, 1980, **31**, 713; Коноплич Р.В., Кребс А.Б., Никитин Ю.П. Сб. Элементарные частицы и космические лучи. М.: Атомиздат, 1980, с. 134.

Объединенный  
институт ядерных исследований

Поступила в редакцию  
10 июля 1987 г.